

上水汚泥の凍結融解処理にともなう縞模様形成について

東北大学工学部 学生員 石橋良信
東北大学工学部 学生員 ○荒木 康
東北大学工学部 庄子信之

1. はじめに

凍結融解処理によって、難ろ過性を示す上水汚泥の脱水性は改善されるが、それは微小な汚泥粒子が凍る過程で、粗大な粒子塊に変質させられるためである。今回は、粗大化する原因となる、氷-水界面での粒子の排除、氷と汚泥層の交互の縞模様について観察するとともに、圧縮透過試験から求まる汚泥の透水能力と氷の生成のための水の必要量とから、縞模様の初期段階を解析する。

2. 試料および実験装置

試料は仙台市郊外T浄水場の高速凝集沈殿池汚泥を自然沈降により所定の濃度にし、実験に供した。その組成は、灼熱減量15.5%， Al_2O_3 16.1%，真密度2.33 g/cm³であった。凍結は内容積120 lの空気冷却方式のフリーザーで、一辺7 cm、深さ4 cmのアイス缶に試料200 mlを入れ、下方より一方向に凍らせた。また、凍結の緩急を知る目安として平均凍結速度 \bar{u}_f を用いている。これは試料厚さ a 、外界に奪われる熱量と氷の生成熱とか熱的平衡関係にあるアラートな部分の時間で割った値を用いた。

3. 縞模様形成

一般に氷、氷、粒子が存在する時、氷は氷結晶中に夾雑物を含まないため、粒子は氷の界面によって排除されることが知られており、上水汚泥でも同様の現象が起ころ。

汚泥を冷却すると、氷は汚泥粒子を排除しながら成長し、その結果、汚泥層はpile-upの現象をともなって濃縮されていく。しかし、この濃度があまりに高くなると、氷の成長に必要な水の供給が困難になり、氷は高濃度層を飛越えて成長をはじめる。これが順次くり返され、凍結後には、汚泥層と氷との相互の縞模様が形成される。一方、氷間に挟まれた汚泥層はさらに濃縮脱水され、氷結晶圧、コンデルフルスカ等で粗大な粒子塊に変えられる。以下、実験を通して、汚泥層がどの位の濃度で氷に捕えられるか検討してみる。

3-1 縞模様の観察

本実験の凍結方法では、縞は図-1に示すようなパターンで凍るのが観察された。また縞模様は、初期濃度と凍結速度に依存されるように見受けられるので、図中の純粋な氷の厚さ C を、試料厚さ a で除した値 $\%a$ を排除の度合の指標とし、図-2に平均凍結速度 \bar{u}_f そして、図-3に初期汚泥濃度 S との関係を図示した。その結果、図-2より同じ \bar{u}_f であれば、 S が低いほど、また図-3より同じ S であれば、 \bar{u}_f が緩いほど $\%a$ は大きくなり、氷に捕えられにくいく傾向が実験から確かめられた。さらに、重回帰により、この関係式は 図-3 初期汚泥濃度と汚泥層排除の関係

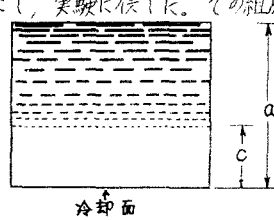


図-1 縞模様形成 模式図

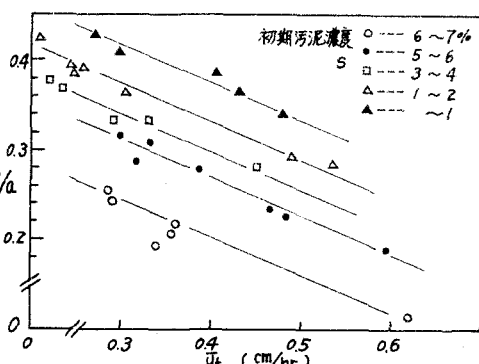
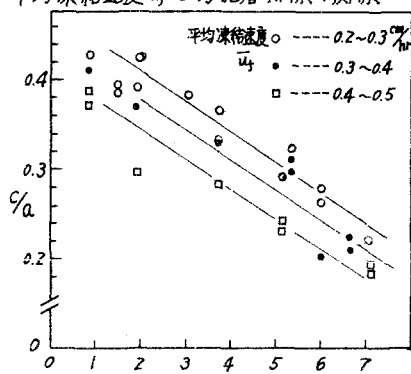


図-2 平均凍結速度 \bar{u}_f と汚泥層排除の関係



$\delta/\delta = 5.5C_1 - 0.363\bar{U}_t - 2.82S^2$ で表わされる。ここで S は濃度分率 ($S/100$)

3-2 圧縮透過試験

氷の成長のために氷界面に輸送される水は排除濃縮された汚泥層内を通り供給される。そこで、この汚泥層が通常どの程度の透水能力を持つかを調べるために圧縮透過試験を行なった。この試験には、土質工学で使われる圧縮試験機と透水試験機を組合せたような装置を用いる。方法は、段階的に荷重をかけ、沈下が終了したら透水試験を行なうという 2 つの操作から、ある平衡荷重における汚泥の平衡空隙率を求めるとともに Kozeny-Carman 式 $\frac{\delta}{\delta} = \frac{\epsilon^3}{K S_0 (1-\epsilon)^2} \frac{g A c P}{\mu' L}$ から透水量を求めるものである。ここに、 δ : 透水量 (cm^3/sec) P : 透過圧力 (kg/cm^2) μ' : 粘性係数 (Poise) L : 層厚 (cm) g_c : 重力換算係数 (dyne/g) A_c : 透過面積 (cm^2) S_0 : 空隙率 (-) K : Kozeny 定数である。³ 以上 3 の操作から、透水に関する一般的な汚泥性状を知り得るが、このうち凍結に応用するためには $\mu' g_c = 0.0179$ $L = 0.05$ また初期濃度を 6.15% とした時の単位面積、単位時間あたりの δ との関係を P をパラメーターとして図-4 に示す。図-5 は透水試験から得られた透水係数 K_D との関係、また図-6 は実験結果より、 ϵ とケーキ含水率の関係を求めたものである。

3-3 氷の生成量

氷の生成に必要な水の供給量を求めるために、Neumann の解により、凍結温度別に、氷の生成量を算出した。単位面積あたりの氷の生成量を $\delta = nF - (1)$ とし、 n を次の伝熱式 $\frac{d\delta}{dt} = \frac{k_1(T_f - T_b)}{k_2(T_{ai} - T_b)} \left\{ e^{\frac{k_1(\delta + k_2 t)}{k_1^2}} \operatorname{erfc} \left(\frac{n}{2\sqrt{k_1 t}} \right) - \frac{k_2(T_{ai} - T_b) e^{-(n^2/4k_2 t)}}{\operatorname{erfc} \left(\frac{n}{2\sqrt{k_2 t}} \right)} \right\} = \lambda P n$ から、左辺 = 右辺とした超越方程式の解として求め、(1) 式に代入して δ を得た。こ

図-4 透水量と空隙率との関係

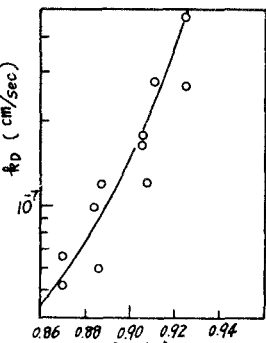


図-5 透水係数と空隙率との関係

3-4 結果および考察 —— 結論にかえて ——

上記の 3-2, 3-3 を用いて縞模様が形成されはじめる濃度を推定し得る。すなわち、実験から求まる図-1 の C の値を図-7 の δ に入れ、曲線と接する点の接線の傾きから、 $\delta' (\text{cm}/\text{hr})$ を求め、図-4 により対応する

図-6 空隙率とケーキ含水率の関係

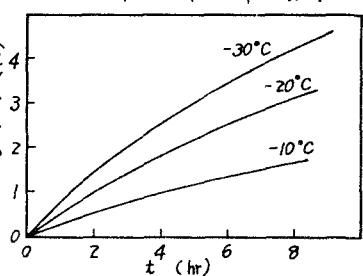


図-7 氷生成量と時間との関係

3-4 で、氷を引き抜く driving force としての P は、本来なら化學ボテンシャル、自由エネルギーで表わすのが妥当であるが、実際にこれらの量は困難である。そこで、Poisuille の式を変形した $P = \delta' L / K_D$ にて $\delta' = 10^{-7}$ を、しを縞の間隙から 0.05cm として圧を概算すると、50% 脱水となると考えられる。この P が氷を引く圧に相当する圧力を仮定して上記の操作を行なう。その結果、初期濃度 6% 程度の汚泥では $\bar{U}_t = 0.2 \sim 0.3 \text{ cm/hr}(-10^\circ\text{C})$ の時、含水率 67 ~ 68% ($\bar{U}_t = 0.3 \sim 0.4 (-20^\circ\text{C})$) で 71 ~ 72% ($\bar{U}_t = 0.5 \sim 0.6 (-30^\circ\text{C})$) で 74 ~ 75% ではじめて縞が形成されると思われる。また、濃度が 3% 程度では、それそれの値より 2 ~ 3 % 多目であった。

尚、融解後の脱水性すなわち比抵抗やケーキ含水率にかかる粗大粒子の形成と影響は機会を別に報告する。